

二(1-环戊烯基环戊二烯基)四羰基二钌(I)的合成与晶体结构

马志宏^{1,2} 刘晓焕¹ 林丽枝³ 韩占刚¹ 郑学忠¹ 林进^{*1}

(¹ 河北师范大学化学与材料科学学院, 石家庄 050016)

(² 河北医科大学基础医学院, 石家庄 050017)

(³ 华北制药康欣有限公司, 石家庄 050015)

摘要: 由 6,6-四亚甲基富烯与 Ru₃(CO)₁₂ 在二甲苯中加热回流, 合成了一个新的双核配合物($\eta^5\text{-C}_{10}\text{H}_{11}$)₂Ru₂(CO)₂($\mu\text{-CO}$)₂。通过元素分析、红外光谱、核磁共振氢谱对其结构进行了表征, 用 X 射线单晶衍射法测定了配合物的结构, 结果表明: 晶体属于三斜晶系, $P\bar{1}$ 空间群, $a=0.641\,57(19)\text{ nm}$, $b=0.761\,3(2)\text{ nm}$, $c=1.192\,4(3)\text{ nm}$, $\alpha=89.973(4)^\circ$, $\beta=87.143(4)^\circ$, $\gamma=69.666(4)^\circ$, $V=0.545\,3(3)\text{ nm}^3$, $D_c=1.756\text{ g}\cdot\text{cm}^{-3}$, $\mu=1.412\text{ mm}^{-1}$, $F(000)=286$, $Z=1$, $R_1=0.024\,0$, $wR_2=0.066\,7$ 。晶体结构表明 6,6-四亚甲基富烯在反应过程中发生了双键的异构。CCDC: 748430。

关键词: 羰基钌; 富烯; 二聚物; 晶体结构; X 射线衍射

中图分类号: O614.82⁺¹ 文献标识码: A 文章编号: 1001-4861(2011)05-0913-04

Synthesis and Crystal Structure of Di(1-cyclopentenylcyclopentadienyl) Tetracarbonyl Diruthenium(I)

MA Zhi-Hong^{1,2} LIU Xiao-Huan² LIN Li-Zhi³ HAN Zhan-Gang¹ ZHENG Xue-Zhong¹ LIN Jin^{*1}

(¹College of Chemistry & Material Science, Hebei Normal University, Shijiazhuang 050016, China)

(²College of Basic Medicine, Hebei Medical University, Shijiazhuang 050017, China)

(³North China Pharmaceutical Kangxin Co., Ltd, Shijiazhuang 050015, China)

Abstract: 6,6-Tetramethylenefulvene reacted with Ru₃(CO)₁₂ in refluxing xylene to give the new dinuclear complex ($\eta^5\text{-C}_{10}\text{H}_{11}$)₂Ru₂(CO)₂($\mu\text{-CO}$)₂. Its molecular structure was characterized by elemental analysis, IR, ¹H NMR. X-ray crystallography of the compound reveals that it belongs to triclinic system $P\bar{1}$ space group, with $a=0.641\,57(19)\text{ nm}$, $b=0.761\,3(2)\text{ nm}$, $c=1.192\,4(3)\text{ nm}$, $\alpha=89.973(4)^\circ$, $\beta=87.143(4)^\circ$, $\gamma=69.666(4)^\circ$, $V=0.545\,3(3)\text{ nm}^3$, $D_c=1.756\text{ g}\cdot\text{cm}^{-3}$, $\mu=1.412\text{ mm}^{-1}$, $F(000)=286$, $Z=1$, $R_1=0.024\,0$, $wR_2=0.066\,7$. Its crystal structure shows that the 6,6-tetramethylenefulvene undergoes double-bond isomerization in the reaction. CCDC: 748430.

Key words: ruthenium carbonyl; fulvene; dimer; crystal structure; X-ray diffraction

富烯与金属羰基化合物的反应引起了人们的广泛关注, 源于富烯是制备活泼茂金属催化剂的高效多功能原料。人们已经由富烯制备出了各种各样的烯烃聚合催化剂, 如 6,6-二甲基富烯和 6-甲基氨基富烯^[1-4]。富烯分子中存在一个环外双键和 2 个环

内双键, 因此它可以与过渡金属中心发生 η^1 、 η^5 、 η^3 、 η^5 ^[5-10] 和 η^2 、 η^4 ^[11-12] 等配位模式。基于这一特点使它成为了金属有机化学中研究的一大亮点^[13]。目前, 对于富烯桥连双核化合物和单核化合物的研究较多^[6-7,14], 但是富烯与金属羰基化合物反应生成只以

收稿日期: 2010-10-11。收修改稿日期: 2010-12-09。

河北省自然科学基金(No.B2008000150)、河北师范大学博士启动基金(No.L2005B18)和河北师范大学重点基金(No.L2009Z06)资助项目。

*通讯联系人。E-mail: linjin64@126.com

η^5 -配位配合物的报道却很少。因此,本文研究了6,6-四亚甲基富烯与Ru₃(CO)₁₂的反应,合成了一个新的配合物并用X-射线单晶衍射法确定了其结构,并且6,6-四亚甲基富烯在反应过程中发生了环外双键的异构化。本文报道该配合物($\eta^5\text{-C}_{10}\text{H}_{11}$)₂Ru₂(CO)₂($\mu\text{-CO}$)₂的合成及晶体结构。

1 实验部分

本研究所描述的实验均采用Schlenk实验技术,在氩气保护和严格的无水无氧条件下进行。

1.1 试剂和仪器

所用溶剂二甲苯和正己烷使用前在氩气保护下,经Na-二苯甲酮回流蒸馏;CH₂Cl₂经P₂O₅干燥后重蒸。测试仪器为:X-4数字显示型熔点仪(温度计未校正);VarioEL III型元素分析仪;Bruker AV 500型核磁共振仪,TMS为内标,CDCl₃为溶剂;Bruker Smart Apex II CCD型X射线单晶衍射仪;FTIR-8900型红外光谱仪,KBr压片。

1.2 配合物的合成

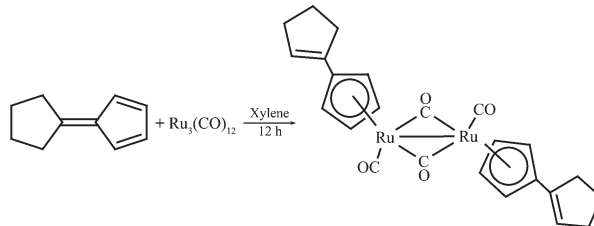
1.2.1 配体6,6-四亚甲基富烯(C₁₀H₁₂)的制备

参照文献^[15]中的方法制备。以甲醇为反应溶剂,四氢吡咯作催化剂,环戊二烯与环戊烯酮在冰浴下反应,反应完毕后加入蒸馏水分层,乙醚萃取有机层,无水硫酸镁干燥,减压蒸馏,收集133 Pa 62~64 °C的馏分,得到黄色油状液体,产率29.9%。

1.2.2 配合物[($\eta^5\text{-C}_{10}\text{H}_{11}$)₂Ru₂(CO)₂($\mu\text{-CO}$)₂] 的合成

在100 mL装有搅拌、冷凝和保护气装置的两口瓶中加入配体C₁₀H₁₂(0.19 g, 1.41 mmol)、Ru₃(CO)₁₂(0.3 g, 0.47 mmol)和30 mL二甲苯,氩气保护下加热回流12 h, TLC监测反应进程(Scheme 1)。将反应混合物冷却至室温,减压除去溶剂得一橙红色固

体,二氯甲烷溶解,过中性氧化铝柱,用二氯甲烷-石油醚(1:2,V:V)淋洗,得一橙红色带,减压除去溶剂,得橙红色结晶固体0.017 g,产率为17.5%。m.p. 126~127 °C。Anal. Calcd. for C₂₄H₂₂O₄Ru₂(%):C 49.82; H 4.18。Found (%):C 49.85; H 4.20。¹H NMR(500 MHz, CDCl₃, ppm) δ: 1.65~1.75(m, 12H, (CH₂CH₂CH₂)), 4.94(s, 4H, C₅H₄), 5.90(s, 4H, C₅H₄), 5.19(t, J=2.0 Hz, 2H, CH); IR(KBr) ν: 1938, 1763 cm⁻¹。



Scheme 1

1.2.3 配合物单晶的培养及晶体结构的测定

将配合物于室温溶解在二氯甲烷-正己烷的混合溶剂中,在室温下缓慢挥发溶剂,10 d左右在溶液中出现橙红色块状晶体,将之分离并保存在氩气的氛围下。

选取尺寸为0.18 mm×0.12 mm×0.08 mm的单晶,在273(2) K下,于Bruker Smart Apex II CCD单晶衍射仪上用石墨单色化Mo Kα(λ=0.071 073 nm)收集数据,采用φ-ω扫描方式在1.71°≤θ≤25.05°范围内共收集2 880个衍射点,其中用于数据修正的独立衍射点1 918个(R_{int}=0.016 6),全部数据经过multi-scan吸收校正。结构采用SHELXTL程序用直接法解析,全矩阵最小二乘法精修。表1给出配合物的晶体学数据。

CCDC:748430。

表1 配合物的晶体学数据

Table 1 Crystal structure parameters of the title complex

Empirical formula	C ₂₄ H ₂₂ O ₄ Ru ₂	β / (°)	87.143(4)
Formula weight	576.56	γ / (°)	69.666(4)
T / K	273(2)	V / nm ³	0.545 3(3)
Wavelength / nm	0.071 073	Z	1
Crystal system	Triclinic	D _e / (g·cm ⁻³)	1.756
Space group	P [−] 1	μ / mm ⁻¹	1.412
a / nm	0.641 57(19)	F(000)	286
b / nm	0.761 3(2)	Crystal size / mm	0.18×0.12×0.08
c / nm	1.192 4(3)	θ range for data collection / (°)	1.71 to 25.05
α / (°)	89.973(4)	Limiting indices	-7 ≤ h ≤ 6, -9 ≤ k ≤ 9, -11 ≤ l ≤ 14

续表1

Reflections collected / unique (R_{int})	2 880 / 1 918 (0.016 6)	Data / restraints / parameters	1 918 / 0 / 136
Completeness to $\theta=25.05^\circ$ / %	99	Goodness of fit on F^2	1.035
Absorption correction	Multi-scan	Final R indices [$I>2\sigma(I)$]	$R_i=0.0240, wR_2=0.0667$
Max. and min. transmission	0.8954 and 0.7852	R indices (all data)	$R_i=0.0246, wR_2=0.0673$
Refinement method	Full-matrix least-squares on F^2	Largest diff. peak and hole / ($e \cdot nm^{-3}$)	720 and -758

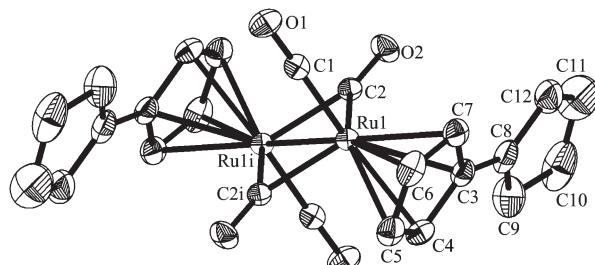
2 结果与讨论

2.1 配合物的波谱分析

配合物的核磁共振氢谱在 δ 4.94、5.90 处出现了环戊二烯基上质子特征吸收峰, 在 δ 5.19 处出现了环戊烯双键上质子特征吸收峰。在配合物的红外谱图中, 1938 cm^{-1} 处有强的端羰基吸收峰, 1763 cm^{-1} 出现了强的桥羰基的吸收峰。核磁共振氢谱、红外光谱和 X 衍射所得结论一致。

2.2 配合物的晶体结构分析

配合物的分子结构示于图 1, 部分键长和主要的键角列于表 2。



Symmetry code: $-x+1, -y, -z+2$; displacement ellipsoids are drawn at the 30% probability level

图 1 配合物的分子结构

Fig.1 Molecular structure of the title complex

X-射线衍射结果表明: 配合物的结构是反式的, 分子中存在 2 个桥羰基和 2 个端羰基。2 个 Ru 原子均以 η^5 模式和配体中的环戊二烯基进行了配位, 配体中的环外双键没有参与配位。2 个 Ru 原子之间通过单键相连, 每个 Ru 原子都连有 2 个桥羰基和 1 个端羰基。分子中的 2 个茂环是平行的, 金属原子 Ru 到茂环中心质点的距离为 0.192 4 nm。Ru-Ru 之间的键长为 0.273 46(7) nm, 与类似的环戊二烯环上无取代基的化合物 *trans*-[$(\eta^5\text{-C}_5\text{H}_5)\text{Ru}(\text{CO})(\mu\text{-CO})_2$] (0.273 5(2) nm)^[16] 的 Ru-Ru 键的键长非常接近; 比以 η^1, η^5 模式配位的富烯桥连 Ru-Ru 键化合物的键长要短许多, 如 $(\eta^1, \eta^5\text{-CPh}_2\text{C}_5\text{H}_4)\text{Ru}_2(\text{CO})_5(\text{SbPh}_3)$ (0.281 6(1) nm)^[17]、 $(\eta^1, \eta^5\text{-CH}_2\text{C}_5\text{Me}_4)\text{Ru}_2(\text{CO})_6$ (0.281 3(1) nm)^[14a], 说明桥的存在会直接影响到分子中的 Ru-Ru 键的键长。从配合物的晶体数据中可以知道 C(8)-C(9) 的键长为 0.138 6(6) nm, 非常接近标准的 C=C(0.133 7 nm) 的键长, C(3)-C(8)、C(8)-C(12) 的键长分别为 0.146 4(4) nm 和 0.142 8(6) nm, 比标准的 C-C 单键(0.153 4 nm)的键长要短, 但却比标准的 C=C(0.133 7 nm) 的键长要长, 这说明 C(8)-C(9) 是双键, C(3)-C(8)、C(8)-C(12) 均为单键。这充分表明了在反应过程中, 环外双键发生了迁移。

表 2 配合物的主要键长和键角

Table 2 Selected bond distances (nm) and angles (°) for the title complex

Ru(1)-Ru(1i)	0.273 46(7)	Ru(1)-C(5)	0.226 0(3)	C(9)-C(10)	0.149 7(6)
Ru(1)-C(1)	0.186 1(3)	Ru(1)-C(6)	0.223 0(3)	C(10)-C(11)	0.148 2(9)
Ru(1)-C(2)	0.203 3(3)	Ru(1)-C(7)	0.225 6(3)	C(11)-C(12)	0.152 2(7)
Ru(1)-C(3)	0.232 6(3)	C(3)-C(8)	0.146 4(4)	C(8)-C(12)	0.142 8(6)
Ru(1)-C(4)	0.227 8(3)	C(8)-C(9)	0.138 6(6)		
C(1)-Ru(1)-Ru(1i)	91.97(9)	C(2i)-Ru(1)-Ru(1i)	47.72(7)	C(2i)-Ru(1)-C(5)	89.92(12)
C(1)-Ru(1)-C(2)	90.68(11)	C(2)-Ru(1)-Ru(1i)	47.83(8)	Ru(1)-C(2)-Ru(1i)	84.45(10)
C(1)-Ru(1)-C(2i)	91.96(11)	C(2i)-Ru(1)-C(3)	128.45(11)		

Symmetry code: i: $-x+1, -y, -z+2$.

参考文献:

[1] Herrmann G S, Alt H G, Rausch M D. *J. Organomet. Chem.*,

1991,401:C5-C9

[2] Razavi A, Ferrara J. *J. Organomet. Chem.*, 1992,435:299-310

[3] Alt H G, Jung M, Milius W. *J. Organomet. Chem.*, 1998,558:

- 111-121
- [4] Kotov V V, Frhlich R, Kehr G, et al. *J. Organomet. Chem.*, **2003**, **676**:1-7
- [5] Weiss E, Hubel W. *Chem. Ber.*, **1962**, **95**:1186-1196
- [6] Behrens U, Weiss E. *J. Organomet. Chem.*, **1975**, **96**:435-450
- [7] Tfke S, Haupt E T K, Behrens U. *Chem. Ber.*, **1986**, **119**:96-106
- [8] Bottomley F, Lin I J B, White P S. *J. Am. Chem. Soc.*, **1981**, **103**:703-704
- [9] Einstein F W B, Jones R H, Zhang X H, et al. *J. Chem. Soc., Chem. Comm.*, **1989**:1424-1426
- [10] Blake A J, Dyson P J, Johnson B F G, et al. *Organometallics*, **1995**, **14**:4199-4208
- [11] Barlow S, Cowley A, Green J C, et al. *Organometallics*, **2001**, **20**:5351-5359
- [12] Gemel C, Mereiter K, Schmid R, et al. *Organometallics*, **1997**, **16**:5601-5603
- [13] (a) Christofides A, Howard J A K, Spencer J L, et al. *J. Organomet. Chem.*, **1982**, **232**:279-292
(b) Edelmann F, Behrens U. *J. Organomet. Chem.*, **1977**, **134**:31-36
- [14] (a) Hashimoto H, Tobit H, Ogino H. *Inorg. Chim. Acta*, **2003**, **350**:347-354
(b) Hashimoto H, Tobit H, Ogino H. *Organometallics*, **1993**, **12**:2182-2187
(c) Edelmann F T. *Inorg. Chem. Commun.*, **2004**, **7**:899-902
(d) Barlow S, Cowley A, Green J C, et al. *Organometallics*, **2001**, **20**:5351-5359
(e) Fischer J M, Piers W E, Jr V G Y. *Organometallics*, **1996**, **15**:2410-2412
(f) Glueck D S, Bergman R G. *Organometallics*, **1990**, **9**:2862-2863
(g) Rau D, Behrens U. *J. Organomet. Chem.*, **1990**, **387**:219-231
(h) Straus D A, Zhang C, Tilley T D. *J. Organomet. Chem.*, **1989**, **369**:C13-C17
- [15] CHEN Shou-Shan(陈寿山). *J. Hebei Univ. Sci. Technol. (Hebei Gongshang Xueyuan Xuebao)*, **1987**, **1**:89-93
- [16] Mills O S, Nice J P. *J. Organomet. Chem.*, **1967**, **9**:339-344